

МОСКОВСКИЙ ГОСУДАРСТВЕННЫЙ УНИВЕРСИТЕТ  
ИМЕНИ М. В. ЛОМОНОСОВА  
ФАКУЛЬТЕТ ВЫЧИСЛИТЕЛЬНОЙ МАТЕМАТИКИ И КИБЕРНЕТИКИ

## ОТЧЕТ ПО ЗАДАНИЮ №6

**«Сборка многомодульных программ.  
Вычисление корней уравнений и определенных  
интегралов.»**

**Вариант 8 / 4 / 1**

Выполнил:  
студент 104 группы  
Каратыщев Д. И.

Преподаватель:  
Гуляев Д. А.

Москва  
2022

# Содержание

Постановка задачи	2
Математическое обоснование	3
Результаты экспериментов	6
Структура программы и спецификация функций	7
Сборка программы (Make-файл)	8
Зависимость между модулями программы	9
Отладка программы, тестирование функций	10
Программа на Си и на Ассемблере	11
Анализ допущенных ошибок	12
Список цитируемой литературы	13

## Постановка задачи

Требовалось реализовать численный метод, позволяющий вычислять площадь плоской фигуры, ограниченной тремя кривыми  $y = f_1(x)$ ,  $y = f_2(x)$ ,  $y = f_3(x)$  с заданной точностью  $\varepsilon = 0.001$ .

Для вычисления абсцисс точек пересечения кривых, нужных для нахождения вершин фигуры, использовался комбинированный метод (хорд и касательных) приближённого решения уравнения  $F(x) = 0$ .

Площадь плоской фигуры вычислялась с использованием квадратурной формулы - формулы прямоугольников. Отрезок, на котором применялся метод нахождения корней необходимо было вычислить аналитически.

## Математическое обоснование

Приведём требования на сходимость методов и оценки точности [1] и обоснуем выбор значений  $\varepsilon_1$ ,  $\varepsilon_2$ , а также отрезков для поиска точек пересечения кривых.

Анализируя графики всех трёх кривых, легко заметить, в каком диапазоне значений лежит каждый из корней. Для простоты вычислений были выбраны следующие диапазоны:  $[-3.0, -2.0]$ ,  $[-2.0, -0.25]$ ,  $[1.0, 2.0]$ .

Площадь плоской фигуры вычисляется как интеграл, равный сумме определённого интеграла Римана функции  $F_1(x) = -\frac{5}{x} - e^x - 2$  на отрезке от самой крайней точки пересечения кривых слева до средней и определённого интеграла Римана функции  $F_2(x) = -2x + 6 - e^x$  на отрезке от средней точки пересечения до самой крайней точки пересечения справа.

Обозначим интеграл на первом отрезке как  $I_1$ , а интеграл на втором отрезке как  $I_2$ . Тогда площадь плоской фигуры - это  $I := I_1 + I_2$ . Пусть  $I_1$  вычислен без погрешности,  $I'_1$  с погрешностью вычисления точек пересечения  $\varsigma$ , а  $I''_1$  с погрешностью вычисления точек пересечения  $\varsigma$  и погрешностью метода прямоугольников вычисления определённого интеграла  $\varepsilon_2$ . Тогда, используя неравенство треугольника, получим:  $|I_1 - I''_1| \leq |I_1 - I'_1 - I''_1 + I'_1| \leq |I_1 - I'_1| + |I'_1 - I''_1| \leq \varsigma + \varepsilon_2$

Аналогично показывается, что  $|I_2 - I''_2| \leq \varsigma + \varepsilon_2$ , а также что  $|I - I'| \leq 2\varsigma + 2\varepsilon_2$ , где  $I'$  - это интеграл, посчитанный с погрешностью  $\varepsilon = 2\varsigma + 2\varepsilon_2 = 0.001$ . Положим  $\varepsilon_2 = 0.0001$ ,  $\varepsilon_1 = 0.000001$  и покажем, что при таких значениях погрешности достигается заданная точность  $\varepsilon = 0.001$ .

$$\int_a^b \left( -\frac{5}{x} - e^x - 2 \right) dx = \left( -\ln(|x|) - e^x - 2x \right) \Big|_a^b = 5\ln \left| \frac{a}{b} \right| + e^a - e^b - 2(b - a)$$

Теперь учтём, что мы ищем корни с погрешностью  $\varepsilon_1$ , запишем каждый полученный корень как  $a + \varepsilon_1$  и  $b + \varepsilon_1$  и путём несложных преобразований получим:

$$\int_a^b \left( -\frac{5}{x} - e^x - 2 \right) dx - \int_{a+\varepsilon_1}^{b+\varepsilon_1} \left( -\frac{5}{x} - e^x - 2 \right) dx = 5\ln \left| \frac{ab + a\varepsilon_1}{ab + b\varepsilon_1} \right| + (e^{\varepsilon_1} - 1)(e^b - e^a)$$

Аналогично получаем формулу для разности интеграла функции  $F_2(x)$  без погрешности корней и интеграла функции  $F_2(x)$  с погрешностью корней:

$$\int_a^b \left( -2x + 8 + \frac{5}{x} \right) dx - \int_{a+\varepsilon_1}^{b+\varepsilon_1} \left( -2x + 8 + \frac{5}{x} \right) dx = 5\ln \left| \frac{ab + b\varepsilon_1}{ab + a\varepsilon_1} \right| + 2\varepsilon_1(b - a)$$

Теперь обозначим  $\varsigma_1 := 5\ln \left| \frac{ab + a\varepsilon_1}{ab + b\varepsilon_1} \right| + (e^{\varepsilon_1} - 1)(e^b - e^a)$  и  $\varsigma_2 := 5\ln \left| \frac{ab + b\varepsilon_1}{ab + a\varepsilon_1} \right| + 2\varepsilon_1(b - a)$ . Тогда  $\varsigma = \min\{\varsigma_1, \varsigma_2\}$ . Таким образом, для  $\varsigma_1$ ,  $a = -3$ ,  $b = -0.25$ ,  $\varepsilon_1 = 0.000001$  и для  $\varsigma_2$ ,  $a = -0.25$ ,  $b = 2$ ,  $\varepsilon_1 = 0.000001$  получим, соответственно,  $\varsigma_1 \approx 0.000002$  и  $\varsigma_2 \approx 0.000002 \Rightarrow \varsigma \approx 0.000004$

Итак, получили, что  $\varepsilon = 0.001 \geq 0.000008 + 0.00002 = 0.00028 \Rightarrow$  значения  $\varepsilon_1$  и  $\varepsilon_2$  выбраны верно.

Требования на сходимость методов:

1. Метод хорд и касательных. Функция  $F(x)$  должна удовлетворять следующим условиям на рассматриваемом сегменте  $[a, b]$ :  $F(x) \in C^1[a, b]$ ,  $F'(x)$  монотонна на  $[a, b]$  и сохраняет знак на этом сегменте.

2. Метод прямоугольников. Требование:  $F(x) \in C^2[a, b]$

Очевидно, что функции  $g_1(x) := f_3(x) - f_1(x) = -\frac{5}{x} - e^x - 2$ ,  $g_3(x) := f_2(x) - f_1(x) = -2x + 6 - e^x$  удовлетворяют требованиям метода прямоугольников, так как  $g_1(x) \in C^\infty[-3.0, -0.25]$ ,  $g_3(x) \in C^\infty[0.25, 2.0]$ . Покажем теперь, что функции  $g_1(x), g_2(x) := f_3(x) - f_2(x) = -\frac{5}{x} + 2x - 8$ ,  $g_3(x)$  удовлетворяют требованиям метода хорд и касательных. Видно, что  $g_1(x) \in C^\infty[-3.0, -2.0]$ ,  $g_2(x) \in C^\infty[-2.0, -0.25]$ ,  $g_3(x) \in C^\infty[1.0, 2.0]$ , то есть данные функции являются бесконечно гладкими на соответствующих сегментах. Проверим монотонность и сохранение знака их производных:

$$g_3'(x) = -2 - e^x \Rightarrow g_3'(x) < 0, \forall x < 0.$$

$$g_3''(x) = -e^x < 0, \forall x < 0$$

Следовательно, производная функции  $g_3(x)$  сохраняет знак (меньше нуля  $\forall x < 0$ ), а также по следствию теоремы Лагранжа монотонно убывает (отрицательность второй производной)  $\forall x < 0$ .

$$g_2'(x) = \frac{5}{x^2} + 2 \Rightarrow g_2'(x) > 0, \forall x < 0.$$

$$g_2''(x) = -\frac{10}{x^3} > 0, \forall x < 0$$

Следовательно, производная функции  $g_2(x)$  сохраняет знак (больше нуля  $\forall x < 0$ ), а также по следствию теоремы Лагранжа монотонно возрастает (положительность второй производной)  $\forall x < 0$ .

Докажем, что  $g_1'(x) = \frac{5}{x^2} - e^x$  монотонна и сохраняет знак.

$$g_1''(x) = -\frac{10}{x^3} - e^x$$

$$g_1''(x) = 0 \Leftrightarrow \ln\left(-\frac{10}{x^3}\right) - x = 0. \text{ Рассмотрим } \left(\ln\left(-\frac{10}{x^3}\right) - x\right)' = \frac{-3-x}{x}.$$

Заметим, что  $\frac{-3-x}{x} = 0 \Leftrightarrow x = -3$  При этом в этой точке достигается минимум функции  $\ln\left(-\frac{10}{x^3}\right) - x, \forall x < 0$ , приблизительно равный 2. Следовательно,

$g_1''(x) \neq 0, \forall x < 0 \Rightarrow$  в силу непрерывности  $g_1''(x)$  получаем, что либо  $g_1''(x) < 0$ , либо  $g_1''(x) > 0 \forall x < 0$ . Несложно убедиться, что  $g_1''(x) > 0 \forall x < 0$ . Получаем по следствию теоремы Лагранжа, что  $g_1'(x)$  монотонно возрастает на отрезке  $[-3.0, -2.0]$ , и при этом легко проверить, что она сохраняет на нём знак.

Таким образом, все функции удовлетворяют требованиям методов, использовавшихся при решении поставленной задачи. Ниже приведены графики функций.

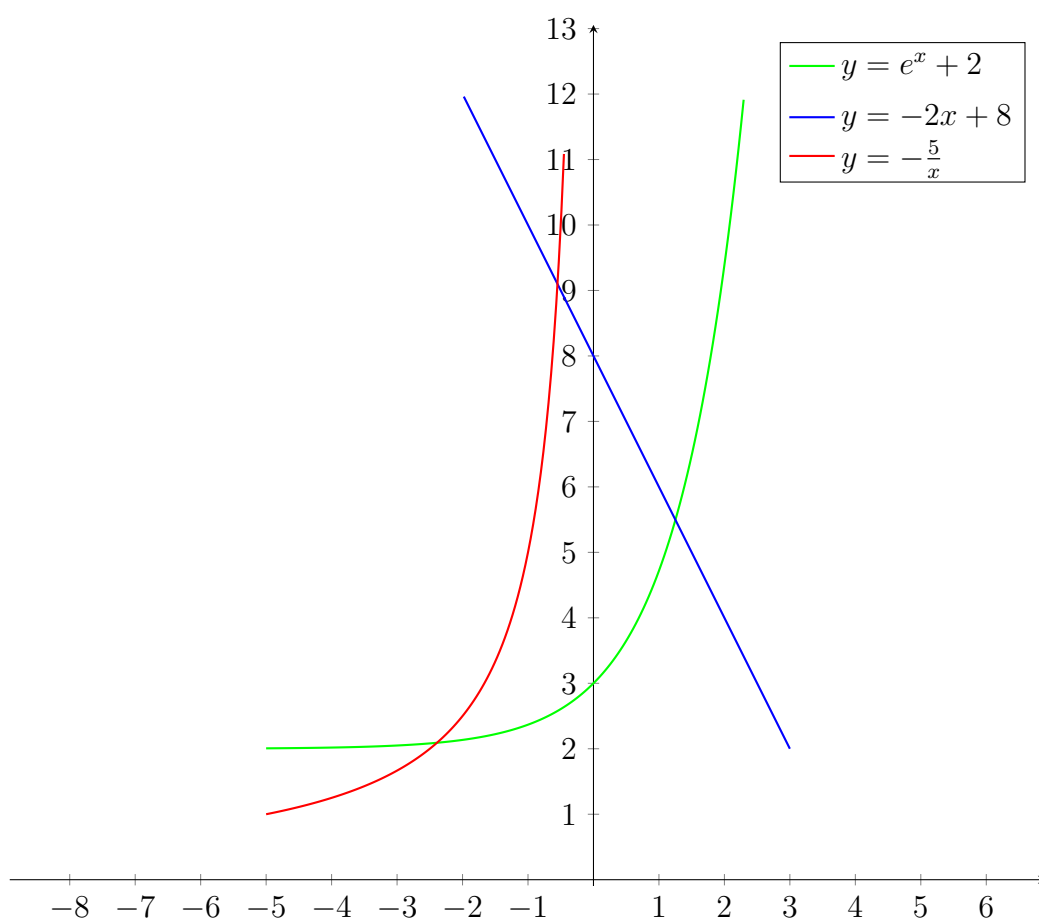


Рис. 1: Плоская фигура, ограниченная графиками заданных уравнений

## Результаты экспериментов

Приведём результаты вычислений - координаты точек пересечения (таблица 1) и площадь полученной фигуры (рис. 2).

Кривые	$x$	$y$
1 и 3	-2.3905	2.0916
2 и 3	-0.5495	9.0990
1 и 2	1.2518	5.4965

Таблица 1: Координаты точек пересечения

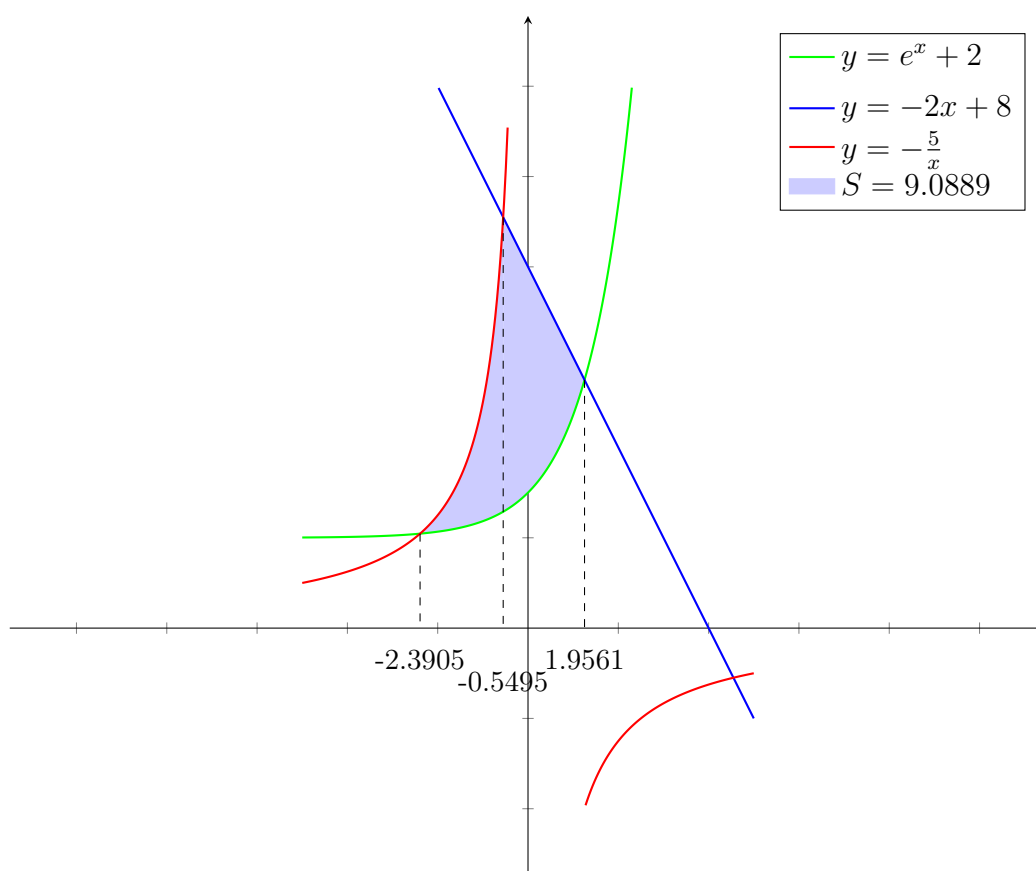
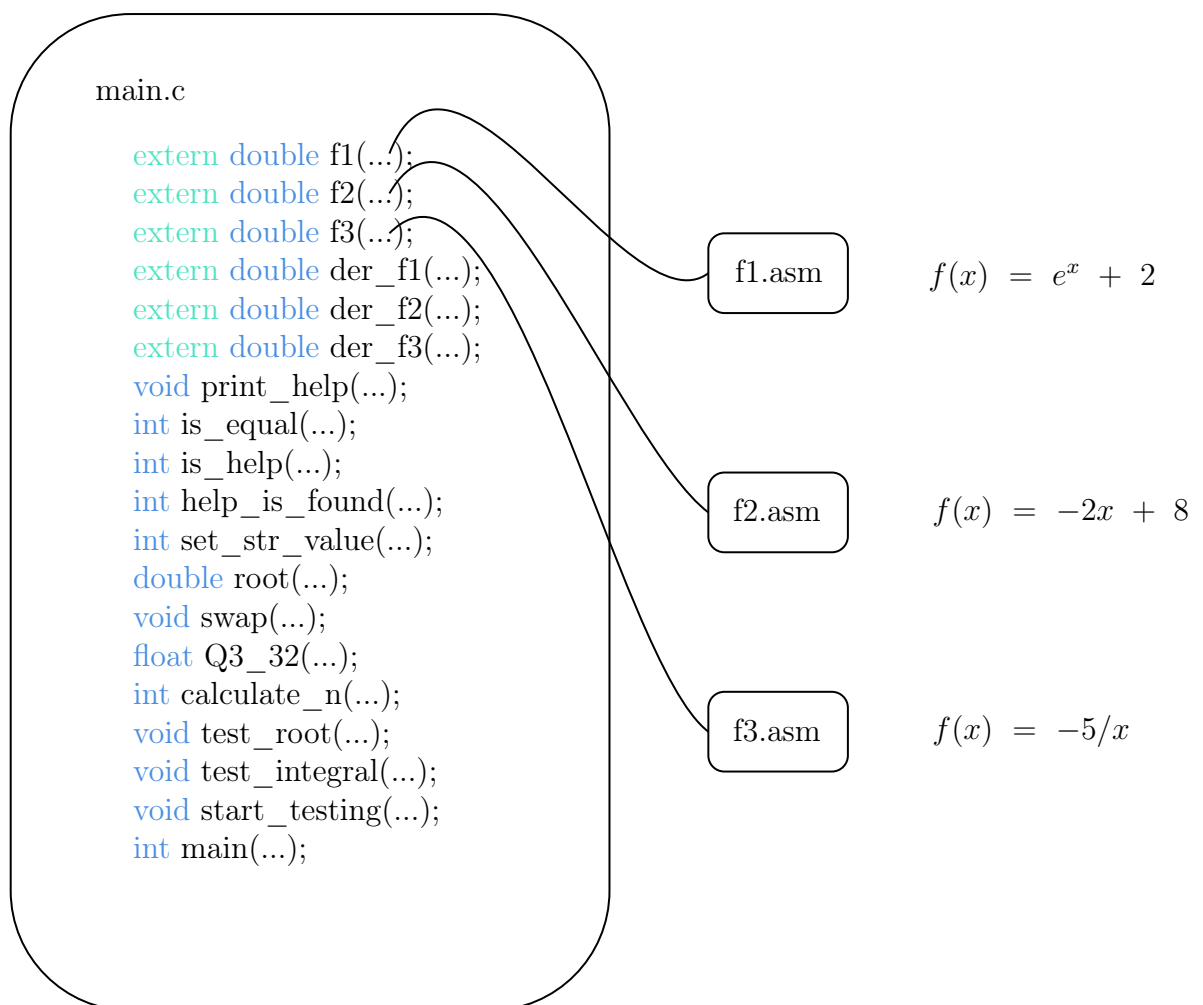


Рис. 2: Плоская фигура, ограниченная графиками заданных уравнений

# Структура программы и спецификация функций

Приведём полный список модулей и функций, изобразив его графически. Функциональность каждого модуля описана в документации к коду.





## Сборка программы (Make-файл)

Приведём зависимости между модулями программы, а также текст Make-файла.

### Makefile

```
all: main clean.o
main: main.o f1.o f2.o f3.o der_f1.o der_f2.o der_f3.o
gcc -lm -m32 *.o -o main

main.o: main.c
gcc -c -m32 main.c

f1.o: f1.asm
nasm -f elf32 f1.asm

f2.o: f2.asm
nasm -f elf32 f2.asm

f3.o: f3.asm
nasm -f elf32 f3.asm

der_f1.o: der_f1.asm
nasm -f elf32 der_f1.asm

der_f2.o: der_f2.asm
nasm -f elf32 der_f2.asm

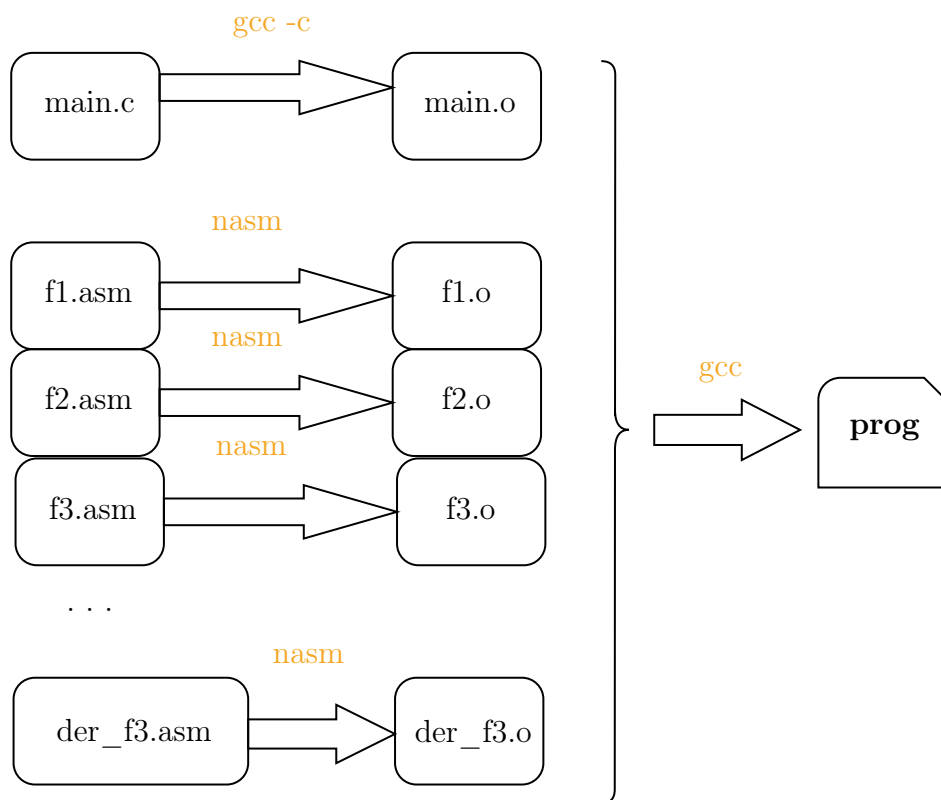
der_f3.o: der_f3.asm
nasm -f elf32 der_f3.asm

clean.o:
rm -rf *.o

clean:
rm -rf *.o main
```

## Зависимость между модулями программы

Ниже приведены зависимости между модулями программы. Каждая зависимость указана стрелкой, над которой написан компилятор и его опции, используемые для получения выходного файла программы.



# Отладка программы, тестирование функций

Рассмотрим результаты отладки программы и тестирования функций. Было проведено по 3 теста для функции `root` и `integral` для разных кривых. В программе реализовывалась соответствующая функция, а затем проводилось тестирование. Приведём результаты в виде списка, вычисления корней и отрезков применения методов проводились с помощью анализов соответствующих графиков функций.

## 1. Функция `root`.

- (a) Уравнения кривых:  $f_1(x) = \ln\left(\frac{1+x^2}{5}\right)$ ,  $f_2(x) \equiv 0$ . Уравнения их производных:  $f'_1(x) = \frac{2x}{1+x^2}$ ,  $f'_2(x) \equiv 0$ . Отрезок для вычисления корня:  $[1, 4]$ . Результат аналитических вычислений - корень уравнения равен 2.0000. Результат работы численного метода - корень: 2.00000.
- (b) Уравнения кривых:  $f_1(x) = \sin(x)$ ,  $f_2(x) = \cos(x^2)$ . Уравнения их производных:  $f'_1(x) = \cos(x)$ ,  $f'_2(x) = -2x\sin(x^2)$ . Отрезок для вычисления корня:  $[0, 2]$ . Результат аналитических вычислений - корень уравнения равен 0.849369. Результат работы численного метода - корень: 0.84937.
- (c) Уравнения кривых:  $f_1(x) = e^x$ ,  $f_2(x) = \frac{9}{x^3}$ . Уравнения их производных:  $f'_1(x) = e^x$ ,  $f'_2(x) = -\frac{27}{x^4}$ . Отрезок для вычисления корня:  $[0.25, 4]$ . Результат аналитических вычислений - корень уравнения равен 1.33359. Результат работы численного метода - корень: 1.33359.

## 2. Функция `integral`.

- (a) Уравнение кривой:  $f(x) = \ln\left(\frac{1+x^2}{5}\right) - 0$ . Уравнение её производной:  $f'(x) = \frac{2x}{1+x^2}$ . Отрезок для вычисления интеграла:  $[2, 4]$ . Результат аналитических вычислений - интеграл равен 1.3324. Результат работы численного метода - интеграл: 1.33245
- (b) Уравнение кривой:  $f(x) = \sin(x) - \cos(x^2)$ . Уравнение её производной:  $f'(x) = \cos(x) + 2x\sin(x^2)$ . Отрезок для вычисления интеграла:  $[2, 4]$ . Результат аналитических вычислений - интеграл равен 0.104498. Результат работы численного метода - интеграл: 0.10450
- (c) Уравнение кривой:  $f(x) = e^x - \frac{9}{x^3}$ . Уравнение её производной:  $f'(x) = e^x + \frac{27}{x^4}$ . Отрезок для вычисления интеграла:  $[2, 6]$ . Результат аналитических вычислений - интеграл равен 395.04. Результат работы численного метода - интеграл: 395.03971

## Программа на Си и на Ассемблере

Исходные тексты программы имеются в архиве, который приложен к этому отчету.

## Анализ допущенных ошибок

Было изменено значение  $\varepsilon_2$  с 0.0001 на 0.000001, а также исправлен вывод точек пересечения кривых.

## Список литературы

- [1] Ильин В. А., Садовничий В. А., Сендов Бл. Х. Математический анализ.  
Т. 1 — Москва: Наука, 1985.

